

РАСПРОСТРАНЕНИЕ ВОЛНЫ РАЗРЕЖЕНИЯ И УДАРНОЙ ВОЛНЫ  
В ГЕТЕРОГЕННОЙ СМЕСИ ДВУХ ИЗОТЕРМИЧЕСКИХ ГАЗОВ

О.В. Буряков, В.Ф. Куропатенко

Для гетерогенной смеси двух изотермических газов в одномерном плоском случае получено аналитическое решение задачи о движении поршня. Показано, что в волне разрежения существует не только как зона, где смесь обеднена легким компонентом, но и зона, где смесь обогащена. При разлете в вакуум у поршня массовая концентрация легкого компонента равна единице, т.е. имеет место полная сепарация компонентов. В задаче о вдвигающемся поршне ударная волна расщепляется. Между разрывом в легком компоненте и разрывом в тяжелом компоненте смесь существенно обогащена легким компонентом, а между разрывом в тяжелом компоненте и поршнем — тяжелым.

Введение

Течение гетерогенных сред имеет существенные особенности: многоскоростной характер течения, процессы взаимодействия, термодинамическая неравновесность, условия совместного течения и т.д.

Математические модели гетерогенных сред весьма сложны. Подробную библиографию по проблемам механики гетерогенных сред можно найти в работах [1-3].

В последние годы появились работы по численному исследованию неустановившихся течений гетерогенных сред [3-6]. В связи с этим повышается актуальность вопросов, связанных с исследованием качественных особенностей математических моделей: распространение волн, взаимодействие относительного движения компонентов с условиями их совместного течения и т.д. Кроме того, необходимо иметь хорошие тесты для сложных численных методов. В настоящей работе для простейшей модели гетерогенной среды исследуются особенности распространения волн разрежения и ударных волн.

1. Непрерывное плоское одномерное течение смеси двух изотермических газов

Непрерывное плоское одномерное течение смеси двух изотермических газов описывается системой уравнений

$$\frac{\partial \alpha_i \rho_i}{\partial t} + \frac{\partial \alpha_i \rho_i u_i}{\partial x} = 0; \quad (1)$$

$$\frac{\partial \alpha_i \rho_i u_i}{\partial t} + \frac{\partial \alpha_i \rho_i u_i^2}{\partial x} + \frac{\partial \alpha_i p_i}{\partial x} = R_{ji}; \quad (2)$$

$$p_i = c_i^2 \rho_i; \quad c_i = \text{const}. \quad (3)$$

Здесь  $\alpha_i$  — объемная концентрация;  $\rho_i$  — плотность;  $u_i$  — скорость;  $p_i$  — давление;  $c_i$  — изотермическая скорость звука  $i$ -го компонента;  $R_{ji}$  — сила воздействия  $j$ -го компонента на  $i$ -й в процессе их относительного движения. Объемные концентрации  $\alpha_i$  удовлетворяют условиям

$$0 \leq \alpha_i \leq 1; \quad \alpha_1 + \alpha_2 = 1. \quad (4)$$

Условие совместного течения компонентов возьмем в виде

$$\rho_1 = \rho_2 = \rho. \quad (5)$$

Система (1)-(5) содержит восемь уравнений и восемь искомых функций.

Параметры смеси выражаются через параметры компонентов

$$u = \eta_1 u_1 + \eta_2 u_2; \quad \rho = \alpha_1 \rho_1 + \alpha_2 \rho_2, \quad (6)$$

где  $\eta_i$  - массовая концентрация  $i$ -го компонента, удовлетворяющая условиям

$$0 \leq \eta_i \leq 1; \quad \eta_1 + \eta_2 = 1. \quad (7)$$

Введем новые переменные

$$R_i = \alpha_i \rho_i. \quad (8)$$

В уравнениях (1), (2) перейдем от переменных  $\alpha_i, \rho_i, \rho, u_i$  к переменным  $u_i, R_i$  и положим  $R_{i1} = 0$ .

Тогда уравнения (1), (2) примут вид

$$\begin{aligned} \frac{\partial R_i}{\partial t} + \frac{\partial R_i u_i}{\partial x} &= 0; \\ \frac{\partial R_i u_i}{\partial t} + \frac{\partial R_i u_i^2}{\partial x} + C_i^2 \frac{\partial R_i}{\partial x} &= 0. \end{aligned} \quad (9)$$

В переменных  $R_i, u_i$  исходная система уравнений распалась на две независимые системы (9) для  $i = 1, 2$  соответственно. Каждая из этих систем имеет пару действительных характеристик

$$\left( \frac{dx}{dt} \right)_{i1, i2} = u_i \pm C_i, \quad (10)$$

вдоль которых выполняются соотношения

$$du_i \pm C_i d \ln R_i = 0. \quad (11)$$

Из уравнений (10), (11) следует, что возмущения скорости  $u_i$  и величины  $R_i$  одного компонента распространяются по ее индивидуальным характеристикам и не влияют ни на ход характеристик, ни на соответствующие величины другого компонента.

## 2. Центрированная волна разрежения в покоящейся смеси

Для системы уравнений (9) поставим следующую смешанную задачу Коши

$$\begin{aligned} u_i = u_2 = 0, \quad R_1 = R_{10}, \quad R_2 = R_{20} \quad \text{при } x \geq 0, \quad t = 0; \\ u_i = u_2 = u_n = \text{const} < 0, \quad x = u_n t, \quad t \geq 0. \end{aligned} \quad (12)$$

Введем безразмерные переменные

$$M_i = \frac{u_i}{C_i}, \quad M_n = \frac{u_n}{C_i}, \quad \bar{R}_1 = \frac{R_1}{\rho_0}, \quad \bar{R}_2 = \frac{R_2}{\rho_0}, \quad (13)$$

где

$$\rho_0 = \alpha_{10} \rho_{10} + \alpha_{20} \rho_{20} = R_{10} + R_{20}. \quad (14)$$

Введем также безразмерную независимую переменную

$$\xi = \frac{x}{C_i t}. \quad (15)$$

Запишем уравнения (9), (12) в безразмерном виде

$$(M_i - \xi) \frac{d \ln \bar{R}_i}{d \xi} + \frac{d M_i}{d \xi} = 0; \quad (16)$$

$$(M_i - \xi) \frac{d M_i}{d \xi} + \frac{d \ln \bar{R}_i}{d \xi} = 0;$$

$$(M_2 - \xi) \frac{d \ln \bar{R}_2}{d \xi} + \frac{d M_2}{d \xi} = 0; \quad (17)$$

$$(M_2 - \xi) \frac{d M_2}{d \xi} + z^2 \frac{d \ln \bar{R}_2}{d \xi} = 0;$$

$$M_1 = M_2 = 0, \quad \bar{R}_1 = \bar{R}_{10}, \quad \bar{R}_2 = \bar{R}_{20} \quad \text{при } \xi = \infty; \quad (18)$$

$$M = M_n = \text{const} < 0 \quad \text{при } \xi = \xi_n = M_n < 0,$$

где  $z = \frac{C_2}{C_1} = \text{const} < 1$ . При таком выборе  $z$  компонент с номером 1 легкий, с номером 2 - тяжелый.

Система (16), (17) имеет следующие решения:

$$M_1 = \text{const}, \quad \bar{R}_1 = \text{const}; \quad (19)$$

$$M_1 = \xi + 1, \quad \bar{R}_1 = \text{const} \cdot e^{-\xi}; \quad (20)$$

$$M_1 = \xi - 1, \quad \bar{R}_1 = \text{const} \cdot e^{\xi}; \quad (21)$$

$$M_2 = \text{const}, \quad \bar{R}_2 = \text{const}; \quad (22)$$

$$M_2 = \xi + 2, \quad \bar{R}_2 = \text{const} \cdot e^{-\frac{\xi}{z}}; \quad (23)$$

$$M_2 = \xi - z, \quad \bar{R}_2 = \text{const} \cdot e^{\frac{\xi}{z}}. \quad (24)$$

Решение в волне разрежения будем конструировать из выражений (19)-(24), начиная с точки  $\xi = \infty$  и двигаясь в сторону уменьшения  $\xi$ .

**Область 1.**  $1 \leq \xi \leq \infty$ . Среда находится в невозмущенном (начальном) состоянии, которое определяется решениями (19), (22)

$$M_1 = M_2 = 0, \quad \bar{R}_1 = \bar{R}_{10}, \quad \bar{R}_2 = \bar{R}_{20}.$$

**Область 2.**  $z \leq \xi \leq 1$ . Первый компонент охвачен движением. Второй компонент покоится

$$M_1 = \xi - 1, \quad M_2 = 0, \quad \bar{R}_1 = \bar{R}_{10} e^{\xi-1}, \quad \bar{R}_2 = \bar{R}_{20}.$$

В точке  $\xi = 1$  терпят разрыв производные

$$\frac{d M_1}{d \xi}, \quad \frac{d \bar{R}_1}{d \xi}.$$

**Область 3.**  $M_n + 1 \leq \xi \leq z$ . Оба компонента охвачены ускоренным движением

$$M_1 = \xi - 1, \quad M_2 = \xi - z, \quad \bar{R}_1 = \bar{R}_{10} e^{\xi-1}, \quad \bar{R}_2 = \bar{R}_{20} e^{\frac{\xi-z}{z}}.$$

В точке  $\xi = z$  терпят разрыв производные  $\frac{dM_i}{d\xi}, \frac{dR_i}{d\xi}$ .

**Область 4.**  $M_n + z \leq \xi \leq M_n + 1$ . Точка  $\xi = M_n + 1$  является границей волны разрежения в первом компоненте

$$M_1 = M_n, M_2 = \xi - z, \bar{R}_1 = \bar{R}_{10} e^{M_n}, \bar{R}_2 = \bar{R}_{20} \cdot e^{\frac{\xi - z}{z}}$$

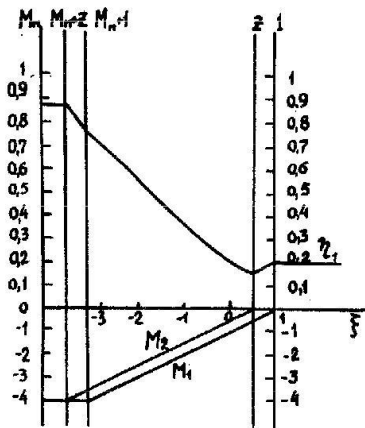
В точке  $\xi = M_n + 1$  терпят разрыв производные  $\frac{dM_i}{d\xi}, \frac{dR_i}{d\xi}$ .

**Область 5.**  $M_n \leq \xi \leq M_n + z$ . Точка  $\xi = M_n + z$  является границей волны разрежения во втором компоненте. Таким образом, область 5 есть область постоянного течения

$$M_1 = M_2 = M_n, \bar{R}_1 = \bar{R}_{10} e^{M_n}, \bar{R}_2 = \bar{R}_{20} e^{\frac{M_n}{z}}$$

В точке  $\xi = M_n + z$  терпят разрыв производные  $\frac{dM_i}{d\xi}, \frac{dR_i}{d\xi}$ .

Зная зависимости  $\bar{R}_1(\xi), \bar{R}_2(\xi)$ , определим все термодинамические величины как для среды в целом, так и для компонентов. Кроме того, найдем зависимости  $\eta_i(\xi)$ . В точках  $\xi = 1, z, M_n + 1, M_n + z$  профили этих величин терпят излом. На рисунке изображены профили  $M_i(\xi), \eta_i(\xi)$  для  $z^2 = 0,3, \eta_{10} = 0,2, M_n = -4$ . Из рисунка видно, что в области постоянного течения у поршня имеет место эффект сепарации — смесь существенно обогащена легким компонентом.



В этой области

$$\eta_i = \eta_{10} \cdot \frac{1}{(1 - \eta_{10}) \cdot e^{\frac{M_n}{z}(1-z)} + \eta_{10}}$$

и при  $M_n \rightarrow -\infty, \eta_i \rightarrow 1$ , т.е. тяжелый компонент отстает от свободной поверхности при истечении смеси изотермических газов в вакуум.

### 3. Стационарная ударная волна

Перейдем от неподвижной системы координат к системе координат, движущейся с постоянной скоростью  $D$ , т.е. вместо  $x$  введем координату

$$\xi = x - Dt. \quad (25)$$

В новой системе координат уравнение (9) примет вид

$$\frac{\partial R_i}{\partial t} - D \frac{\partial R_i}{\partial \xi} + \frac{\partial R_i u_i}{\partial \xi} = 0. \quad (26)$$

$$\frac{\partial R_i u_i}{\partial t} - D \frac{\partial R_i u_i}{\partial \xi} + \frac{\partial R_i u_i^2}{\partial \xi} + C_i^2 \frac{\partial R_i}{\partial \xi} = 0. \quad (27)$$

Рассмотрим стационарное решение системы (26), (27), т.е. решение, у которого  $\frac{\partial R_i}{\partial t} = 0, \frac{\partial u_i}{\partial t} = 0$

$$-D \frac{\partial R_i}{\partial \xi} + \frac{\partial R_i u_i}{\partial \xi} = 0; \quad (28)$$

$$-D \frac{\partial R_i u_i}{\partial \xi} + \frac{\partial R_i u_i^2}{\partial \xi} + \frac{\partial C_i^2 R_i}{\partial \xi} = 0.$$

Принтегрировав уравнения (28), получим

$$R_i (u_i - D) = K_{1i}; \quad (29)$$

$$R_i u_i (u_i - D) + C_i^2 R_i = K_{2i}. \quad (30)$$

Выразим  $R_i$  и  $u_i$  через  $D$ . Система (29), (30) имеет два корня, которым соответствуют два вида решений

$$u_i = D + \frac{C_i^2}{u_{i0} - D}, \quad R_i = \frac{R_{i0} (u_{i0} - D)^2}{C_i^2}; \quad (31)$$

$$u_i = u_{i0}, \quad R_i = R_{i0}. \quad (32)$$

Решение (32) для обоих компонентов тривиально.

Решение (31) для обоих компонентов не имеет физического смысла, так как при уменьшении скорости разрыва и стремлении ее к скорости звука скачки плотности, давления, массовой скорости и других величин не стремятся к нулю.

Физический смысл имеют два вида решений:

1) для первого компонента решение (31),

для второго — решение (32);

2) для второго компонента решение (31),

для первого — решение (32).

Рассмотрим эти комбинации

$$u_i = D + \frac{C_i}{\varphi_i}, \quad R_i = R_{i0} \varphi_i^2, \quad u_j = u_{j0}, \quad R_j = R_{j0}, \quad (33)$$

где

$$\varphi_i = \frac{u_{i0} - D}{C_i}.$$

Выпишем параметры смеси и компонентов за  $i$ -м разрывом

$$\rho = \rho_0 + \alpha_{i0} \rho_{i0} C_i^2 (\varphi_i^2 - 1); \quad (34)$$

$$\rho = \rho_0 + \alpha_{i0} \rho_{i0} (\varphi_i^2 - 1); \quad (35)$$

$$\rho_i = \rho_{i0} + \alpha_{i0} \rho_{i0} (\varphi_i^2 - 1); \quad (36)$$

$$\rho_j = \rho_{j0} + \alpha_{i0} \rho_{j0} (\varphi_i^2 - 1); \quad (37)$$

$$\alpha_i = \frac{\alpha_{i0} \varphi_i^2}{1 + \alpha_{i0} (\varphi_i^2 - 1)}; \quad (38)$$

$$\alpha_j = \frac{\alpha_{j0}}{\alpha_{j0} + (1 - \alpha_{j0}) \varphi_i^2}; \quad (39)$$

$$\eta_i = \frac{\eta_{i0} \varphi_i^2}{1 + \eta_{i0} (\varphi_i^2 - 1)}; \quad (40)$$

$$\eta_j = \frac{\eta_{j0}}{\eta_{j0} + (1 - \eta_{j0}) \varphi_i^2}; \quad (41)$$

Из выражений (34), (35) следует уравнение ударной адиабаты  $i$ -го скачка

$$P = P_0 + C_i^2 (\rho - \rho_0), \quad (42)$$

таким образом, ударной адиабатой  $i$ -го скачка является изотерма  $i$ -го компонента

$$\left( \frac{dP}{dV} \right)_{N_i} = - \frac{C_i^2}{V^2} = - \rho^2 C_i^2 = \lambda_{N_i}; \quad (43)$$

$$\lambda_{\lambda_i} = \frac{P - P_0}{V - V_0} = - \rho \rho_0 \frac{P - P_0}{\rho - \rho_0} = - \rho \rho_0 C_i^2. \quad (44)$$

Для  $\lambda_{\lambda_i}$  возможны два неравенства

$$\lambda_{N_i} < \lambda_{\lambda_i} < \lambda_{N_{i0}} < 0; \quad (45)$$

$$\lambda_{N_{i0}} < \lambda_{\lambda_i} < \lambda_{N_i} < 0. \quad (46)$$

Из уравнений (43), (44) для неравенства (45) следует

$$\rho > \rho_0, \quad (47)$$

а для неравенства (46)

$$\rho < \rho_0. \quad (48)$$

Так как уравнение (42) в переменных  $P, V$  выпуклая кривая, то ударная волна разрежения механически неустойчива, поэтому имеет смысл только неравенство (45).

Из уравнений (47), (35), (33) следует

$$u_{i0} + C_i < D < u_i + C_i. \quad (49)$$

Из уравнений (49) следует, что на  $i$ -м разрыве пересекаются характеристики  $i$ -го компонента. Так как  $u_j$  остается постоянной при переходе через скачок, то характеристики  $j$ -го компонента не чувствуют скачка. В свою очередь, из выражений (33), следует, что скорость  $i$ -го скачка зависит только от параметров  $i$ -го компонента. Вдоль характеристик переносятся не возмущения величин (34)-(41), а возмущения  $R_i$  и  $R_j$ , которые и порождают состояние (34)-(41). Таким образом из неравенства (49) и  $R_j = \text{const}$  при переходе через скачок следует, что при любом соотношении между  $D$  и  $u_{j0} + C_2$ ,  $u_j + C_2$   $i$ -й скачок не посылает перед собой возмущений.

#### 4. Плоская задача о движении

Пусть гетерогенная среда с состоянием

$$u_{i0} = 0, \quad R_{i0} = \text{const}_i \quad (50)$$

находится в полубесконечной плоской трубе  $x \geq 0$ , закрытой с левого конца поршнем. В момент времени  $t = 0$  поршень начинает двигаться вправо со скоростью  $u_n > 0$ .

В этом случае в гетерогенной среде будет распространяться ударная волна. В силу независимости систем (9) на поршне должно быть  $u_1 = u_2 = u_n$ . (51)

Из раздела 3 следует, что для гетерогенной среды данного вида могут существовать ударные волны двух типов:

1) на фронте скорости первого компонента меняется скачком, скорость второго компонента не меняется;

2) на фронте скорости второго компонента меняется скачком; скорость первого компонента не меняется.

Таким образом, состояние перед фронтом (50) и состояние на поршне (51) могут быть связаны лишь совокупностью разрывов 1 и 2.

В выражениях (33)-(41) перейдем к безразмерным переменным (13) и положим

$$\bar{D}_i = \frac{D_i}{C_i}, \quad \bar{P} = \frac{P}{\rho_0 C_i^2}, \quad \delta = \frac{\rho}{\rho_0}, \quad \delta_i = \frac{\rho_i}{\rho_0}. \quad (52)$$

Из выражений (51) и (32) находим

$$\bar{D}_1 = \frac{M_n + \sqrt{M_n^2 + 4}}{2}, \quad \bar{D}_2 = \frac{M_n + \sqrt{M_n^2 + 4z^2}}{2}. \quad (53)$$

Пусть  $z < 1$ , тогда  $\bar{D}_1 > \bar{D}_2$ , т.е. разрыв 1 движется впереди разрыва 2. Обозначим через 0 состояние в покоящейся среде; 1 - состояние за фронтом разрыва 1; 2 - состояние за фронтом разрыва 2.

Получим:

1) за фронтом разрыва 1

$$M_{11} = M_n; \quad (54)$$

$$M_{21} = 0; \quad (55)$$

$$\bar{P}_1 = \bar{P}_0 + \alpha_{i0} \delta_{i0} (\bar{D}_1^2 - 1); \quad (56)$$

$$\delta_1 = \delta_0 + \alpha_{i0} \delta_{i0} (\bar{D}_1^2 - 1); \quad (57)$$

$$\delta_{11} = \delta_{i0} + \alpha_{i0} \delta_{i0} (\bar{D}_1^2 - 1); \quad (58)$$

$$\delta_{21} = \delta_{20} + \alpha_{i0} \delta_{20} (\bar{D}_1^2 - 1); \quad (59)$$

$$\alpha_{11} = \frac{\alpha_{i0} \bar{D}_1^2}{1 + \alpha_{i0} (\bar{D}_1^2 - 1)}; \quad (60)$$

$$\alpha_{21} = \frac{\alpha_{20}}{\alpha_{20} + (1 - \alpha_{20}) (\bar{D}_1^2 - 1)}; \quad (61)$$

$$\eta_{11} = \frac{\eta_{i0} \bar{D}_1^2}{1 + \eta_{i0} (\bar{D}_1^2 - 1)}; \quad (62)$$

$$\eta_{21} = \frac{\eta_{20}}{\eta_{20} + (1 - \eta_{20}) \bar{D}_1^2}; \quad (63)$$

2) за фронтом разрыва 2

$$M_{12} = M_{11} = M_n; \quad (64)$$

$$M_{22} = M_n; \quad (65)$$

$$\bar{p}_2 = \bar{p}_1 + \alpha_{20} d_{20} (\bar{D}_2^2 - z^2); \quad (66)$$

$$d_2 = d_1 + \frac{\alpha_{20} d_{20}}{z^2} (\bar{D}_2^2 - z^2); \quad (67)$$

$$d_{12} = d_{11} + \alpha_{20} d_{20} (\bar{D}_2^2 - z^2); \quad (68)$$

$$d_{22} = d_{21} + \frac{\alpha_{20} d_{20}}{z^2} (\bar{D}_2^2 - z^2); \quad (69)$$

$$\alpha_{12} = \frac{\alpha_{11} d_{11}}{d_{11} + \alpha_{20} d_{20} (\bar{D}_2^2 - z^2)}; \quad (70)$$

$$\alpha_{22} = \frac{\alpha_{21} d_{21} \bar{D}_2^2}{z^2 d_{21} + \alpha_{20} d_{20} (\bar{D}_2^2 - z^2)}; \quad (71)$$

$$\eta_{12} = \frac{\eta_{11}}{1 + \frac{(1-\eta_{11})}{z^2} (\bar{D}_2^2 - z^2)}; \quad (72)$$

$$\eta_{22} = \frac{\eta_{21} \bar{D}_2^2}{z^2 + \eta_{21} (\bar{D}_2^2 - z^2)}; \quad (73)$$

Из выражения (62) следует, что при  $D_1 > 1$  за первым разрывом увеличивается концентрация 1-го компонента, а за вторым - 2-го. В пределе  $M_n \rightarrow \infty$ ,  $\eta_{11} \rightarrow 1$ ,  $\eta_{22} \rightarrow 1$ , т.е. практически весь 1-й компонент концентрируется между разрывами 1 и 2.

#### Список литературы

1. Нигматуллин Р.И. Основы механики гетерогенных сред. М.: Наука, 1978.

2. Крайко А.Н., Нигматуллин Р.И., Старков В.К., Стернин Л.Е. Механика многофазных сред: ИИ. и Т. - Гидромеханика, 1972, т. 6.

3. Яненко Н.Н., Селеухин Р.И., Папырин А.Н., Фомин В.М. Сверхзвуковые двухфазные течения в условиях скоростной неравновесности частиц. Новосибирск: Наука, 1980.

4. Harlow F., Amsden A. Numerical calculation of multiphase fluid flow. - J. Comput. Phys., 1975, v. 17, N 1.

5. Harlow F., Amsden A. Flow of a superpenetrating material phases. - Ibid., 1975, v. 18, N 4.

6. Stewart H. Calculation of transient boiling flow in channels. - Ibid., 1979, v. 30, N 1.

Статья поступила в редакцию 14.05.81.